

## ارزیابی عملکردهای مدل‌سازی آتش‌سوزی جنگل با استفاده از اتوماتای سلوی (پژوهش موردی: جنگلهای پخش لakan شهرستان رشت)

طاهره قائمی‌راد<sup>۱</sup> و محمد کریمی<sup>۲\*</sup>

۱- دانشجوی کارشناسی ارشد مهندسی سیستم‌های اطلاعات مکانی، دانشکده نقشه‌برداری دانشگاه صنعتی خواجه نصیرالدین طوسی، تهران، ایران

۲- استادیار گروه مهندسی سیستم‌های اطلاعات مکانی، دانشکده نقشه‌برداری دانشگاه صنعتی خواجه نصیرالدین طوسی، تهران، ایران

پست الکترونیک: mkarimi@kntu.ac.ir

تاریخ دریافت: ۹۳/۰۴/۰۸

### چکیده

پیش‌بینی صحیح گسترش آتش‌سوزی جنگلی موضوعی حیاتی در کاهش اثرات مخرب ناشی از آن است. آتش‌سوزی جنگل به عامل‌های متعددی از جمله توپوگرافی، پوشش گیاهی و اقلیم بستگی دارد. در حال حاضر یکی از چالش‌های موجود در مدل‌سازی آتش‌سوزی جنگلی نحوه ارتباط آن با مشخصه‌های ایستا و پویای مکانی و زمانی مؤثر بر گسترش آتش‌سوزی از جمله سرعت و جهت باد است. در این پژوهش، سه رویکرد مطرح در مدل‌سازی این پارامترها شامل کارافیلیدیس (Karafyllidis)، برجاك (Berjak) و پروجیاس (Progias) بررسی و تحلیل شدند و اهمیت پارامترهای اندازه پیکسل و گام‌های زمانی تغییر وضعیت در اتوماتای سلوی مورد توجه قرار گرفت. منطقه موردمطالعه، محدوده‌ای از جنگلهای پخش لakan شهرستان رشت بود. ابتدا داده‌های توپوگرافی، پوشش گیاهی، سرعت و جهت باد جمع‌آوری و در محیط GIS آماده‌سازی شدند. سپس سه رویکرد مطرح در منطقه موردمطالعه پیاده‌سازی شدند و با انجام آنالیز حساسیت مربوط به پارامترهای اندازه پیکسل و بازه‌های زمانی، میزان کارایی هر یک از طریق مقایسه جبهه آتش شبیه‌سازی شده با واقعیت و از طریق محاسبه ضریب کاپا، مورد ارزیابی و مقایسه قرار گرفت. نتایج به دست آمده حاکی از آن بود که روش برجاك با طول ضلع پیکسل سه تا هفت متر برای مدل‌سازی گسترش آتش در مناطق جنگلی استان گیلان مناسب است.

واژه‌های کلیدی: آتش‌سوزی جنگل، ابعاد پیکسل، اتوماتای سلوی، گام زمانی، مشخصه‌های پویای مکانی و زمانی.

به صورت هشداردهنده‌ای شده است (Denham *et al.*, 2012).

پیش‌بینی صحیح گسترش آتش‌سوزی جنگل موضوعی حیاتی در حداقل نمودن اثرات مخرب ناشی از آن است (Artes *et al.*, 2013).

در یک دیدگاه کلی می‌توان مدل‌های گسترش جبهه آتش را در دو گروه مدل‌های پیوسته و گسسته دسته‌بندی نمود. در مدل‌های پیوسته فرض بر این است که آتش بر

### مقدمه

آتش‌سوزی جنگل یکی از عوامل مخرب جنگل‌ها محسوب می‌شود که دارای پیامدهای اجتماعی و محیطی فراوانی است (Eskandari *et al.*, 2013). کاهش منابع تولید اکسیژن بر روی زمین و تصاعد گازهای گلخانه‌ای در اثر آتش‌سوزی، منجر به تشدید اثرات گلخانه‌ای و پیرو آن افزایش میزان آتش‌سوزی‌های جنگل در سراسر جهان

متغیر محیط آتش‌سوزی را مدل نمود. این درحالی است که در مدل‌های قطعی، رفتار جبهه آتش مستقیماً از قوانین حاکم بر سیستم و محیط پیرامون برآورده می‌شود و تحت هر شرایطی با توجه به ویژگی‌های حاکم بر منطقه، می‌توان برآورد منطقی از رفتار جبهه آتش داشت. از جمله این مدل‌ها می‌توان به مدل‌های Thanailakis و Karafyllidis (۱۹۹۷)، Hernandez و Berjak (۲۰۰۲) و Hearne (۲۰۰۷) و همکاران (۲۰۱۳) Ch.Sirakoulis و Progias (۲۰۰۷) و اشاره نمود.

بررسی‌ها بیانگر آن است که مدل‌های قطعی - تجربی که در قالب رستر ارائه شده‌اند، بدلیل سادگی مدل‌سازی و توانایی در مدل‌سازی سیستم‌های پیچیده دارای مطلوبیت بیشتری هستند که در این تحقیق مورد توجه قرار گرفته‌اند (Quartieri *et al.*, 2011). از جمله مهم‌ترین پژوهش‌های انجام شده با سیستم‌های گستته می‌توان به پژوهش‌های Hearne و Berjak (۱۹۹۷) Karafyllidis و Alexandridis (۲۰۰۲)، Pastor (۲۰۰۳) و همکاران (۲۰۰۹) Innocenti و همکاران (۲۰۰۸) اشاره نمود. از سوی دیگر از میان روش‌های گستته موجود، تنها روشی که می‌تواند نقش سلول‌های همسایه را در زمان وارد کند، اتماتاتی سلولی است و سایر روش‌ها از جمله روش غیرپارامتریک KNN در این زمینه و همچنین در زمینه تعریف قوانین محلی ناقص می‌باشند. اتماتاتی سلولی یک روش کارآمد برای مدل‌سازی سیستم‌های فیزیکی، پویا و پیچیده مانند آتش‌سوزی است (Sarkar & Abbasi, 2006). این روش قادر است سیستم‌های پیچیده را براساس مهم‌ترین ویژگی‌های آنها ساده‌سازی کند و مکانیزم‌های بسیار جزئی و کوچک موجود در این سیستم‌ها را که مربوط به رفتار تکاملی و قابل رویت آنها است، نشان دهد، بنابراین استفاده از اتماتاتی سلولی برای شبیه‌سازی سیستم‌های پیچیده در دهه‌های اخیر مورد توجه خاصی قرار گرفته است (Yu *et al.*, 2005). در این مدل‌ها، محیط جنگل به صورت یک فضای سلولی درنظر گرفته می‌شود که وضعیت هر سلول آن (هر قطعه از جنگل) به صورت تابعی از وضعیت خود سلول

روی یک سطح پیوسته گسترش می‌یابد، به همین دلیل برای اجرای چنین مدل‌هایی باید به حل مجموعه‌ای از معادلات مشتق جزئی پرداخت. از جمله مهم‌ترین این پژوهش‌ها می‌توان به Ivanilova (۱۹۸۵)، Beer (۱۹۸۹) و Lopes (۱۹۹۵) اشاره نمود. مدل معروف ارائه شده توسط BEHAVE Rothermel که در سیستم شبیه‌سازی Rothermel مورد استفاده قرار گرفته است نیز از جمله مدل‌هایی است که براساس معادلات مشتق جزئی کار می‌کند (Rothermel, 1983; Rothermel, 1972). عمدتاً از این ابزار به‌منظور محاسبه کمیت‌های فیزیکی در فضاهای پیوسته استفاده می‌شود (Sirakoulis *et al.*, 2002). بنابراین با توجه به پیچیدگی محاسبات مشتق جزئی، اکثر مدل‌های گسترش آتش تولیدشده در دهه‌های اخیر برمبنای صفحات گستته توسعه یافته‌اند و استفاده از سیستم‌های گستته شبیه‌سازی Progias & Ch.Sirakoulis (2013) مورد توجه قرار گرفته است.

سیستم‌های گستته و گردید - مبنای نیز دارای دو دسته مدل‌های احتمالاتی و قطعی می‌باشند. مدل‌های احتمالاتی به طور معمول با استفاده از مجموعه‌ای از داده‌های حاصل از آتش‌سوزی‌های آزمایشگاهی و واقعی برای یک منطقه خاص، تنظیم شده و متعاقباً تحت همین شرایط استاندارد و متوسط معرفی شده، قادرند شبیه‌سازی مناسبی از جبهه آتش ارائه دهند. مدل ارائه شده توسط Alexandridis و همکاران (۲۰۰۸) نمونه‌ای از همین مدل‌هاست. Gazme و همکاران (۲۰۱۳) چنین مدلی را برای مدل‌سازی جبهه آتش در جنگل‌های استان گلستان اجرا کردند. Chamani و همکاران (۲۰۱۳) نیز ابتدا با استفاده از رابطه احتمالاتی معرفی شده، گسترش جبهه آتش را مدل‌سازی کردند و سپس با استفاده از روش‌های عامل - مبنای به مدل‌سازی عامل‌های آتش‌نشان برای مدیریت اطفاء حریق پرداختند. کارآیی مدل‌های احتمالاتی به شرایط استاندارد تعریف شده برای هر یک از آنها بستگی دارد، به طوری که با تغییر شرایط نمی‌توان انتظار کارآیی زیادی از این دسته از مدل‌ها داشت، بنابراین با استفاده از این دسته مدل‌ها عمدتاً نمی‌توان شرایط پویا و

(1997). ۲) رویکرد برجاک و هیرن: در این رویکرد دو پارامتر شبیب و جهت باد با استفاده از روابط Cheney (۱۹۸۱) بر سرعت گسترش اعمال می‌شود. این در حالی است که پارامتر سرعت باد در این مدل بی‌تأثیر است (Berjak & Hearne, 2002) و ۳) رویکرد پروجیاس و سیراکولیس: در این رویکرد دو پارامتر شبیب و سرعت باد با استفاده از روابط Rothermel (۱۹۷۲) و Trunfio (۲۰۰۴) بر سرعت گسترش اعمال می‌شود. این در حالی است که پارامتر جهت باد در این مدل بی‌تأثیر است (Progias & Ch.Sirakoulis, 2013).

آتش‌سوزی‌ها در طول دهه گذشته در جنگل‌های شمال ایران به خصوص مناطق جنگلی استان گیلان رشد فزاینده‌ای داشته است (Sarkargar Ardakani *et al.*, 2009; Jahdi *et al.*, 2013). طبق آمار ارائه شده توسط اداره کل منابع طبیعی استان گیلان تنها در یک دهه گذشته در جنگل‌های این منطقه بیشتر از ۱۰۷ هکتار از اراضی جنگلی دچار اثر وقوع آنها بیشتر از ۳۴۰ هکتار از اراضی جنگلی دچار آتش‌سوزی شده‌اند. بنابراین توجه به محدودیت منابع طبیعی موجود در سطح کشور، اهمیت تلاش برای حفظ این منابع در برابر آتش‌سوزی‌های فراینده دوچندان می‌شود. به‌همین دلیل در این پژوهش، سه رویکرد مطرح شده به‌منظور اعمال اثر مشخصه‌های ایستا و پویای مکانی و زمانی و مقایسه و ارزیابی نتایج به‌دست‌آمده با درنظر گرفتن اهمیت اندازه پیکسل و بازه‌های زمانی شیوه‌سازی آتش‌سوزی، بر روی منطقه مورد مطالعه پیاده‌سازی شد. به عبارت دیگر در این پژوهش با انجام آنالیز حساسیت، نقش این پارامترها در دقت سه رویکرد مربوطه جهت تعیین بهینه‌ترین مدل از میان مدل‌های موجود در بهینه‌ترین مقیاس زمانی و مکانی، مورد توجه قرار گرفت.

## مواد و روش‌ها

### منطقه مورد مطالعه

منطقه مورد مطالعه، بخش لاکان شهرستان رشت واقع در استان گیلان است. وسعت این شهرستان ۱۴۲۷ کیلومترمربع

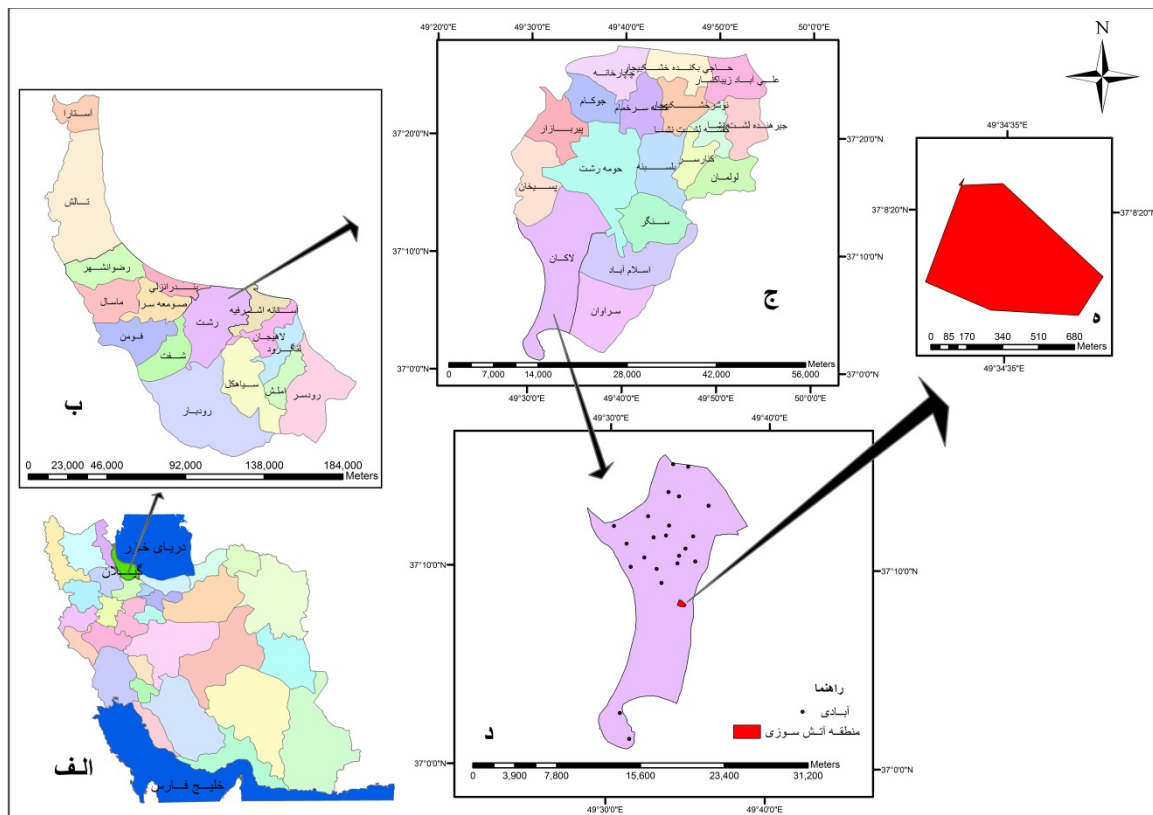
و سلول‌های همسایه در طی زمان تغییر می‌نماید. یک سلول آتش‌گرفته، آتش را به سمت سلول‌های سالم همسایه هدایت می‌کند که این امر می‌تواند برای مدل‌سازی فرآیند گسترش آتش مفید باشد (Sakr *et al.*, 2011).

Thanailakis و Karafyllidis (۱۹۹۷) به‌منظور مدل‌سازی گسترش آتش‌سوزی، یک مدل ریاضی اولیه براساس اتماتای سلولی ارائه کردند که در آن به صورت همزمان کلیه پارامترهای مؤثر بر گسترش آتش‌سوزی از جمله پارامترهای آب و هوایی مانند سرعت و جهت باد، شرایط توپوگرافی و پوشش گیاهی منطقه درنظر گرفته شدند. این مدل طی سال‌های بعدی توسط Berjak و Hernandez Encinas (۲۰۰۲) و همکاران (۲۰۰۷) به‌منظور مطابقت بیشتر با واقعیت اصلاح و تکمیل شد. سایر پژوهش‌ها نیز سه عامل محیطی شامل اقلیم، پوشش گیاهی و توپوگرافی را به عنوان مهم‌ترین عامل‌های مؤثر بر رفتار آتش درنظر گرفته‌اند (Hernandez Encinas *et al.*, 2007; Alexandridis *et al.*, 2008; Brun *et al.*, 2012).

در حال حاضر یکی از چالش‌های موجود در این مدل را می‌توان نحوه ارتباط آن با مشخصه‌های ایستا و پویای مکانی و زمانی مؤثر بر گسترش آتش‌سوزی از جمله شبیب و سرعت و جهت باد دانست. در این راستا روابط ریاضی متعددی در تحقیقاتی همچون Berjak و Porterie (۲۰۰۲)، Hernandez Encinas و همکاران (۲۰۰۷)، Hernandez Encinas و همکاران (۲۰۰۸)، Alexandridis و همکاران (۲۰۰۷)، Purvis و Boboulos (۲۰۰۸) و Yassemi (۲۰۰۸) و همکاران (۲۰۰۹)، Mallet و همکاران (۲۰۰۹) و Progias (۲۰۱۳) Ch.Sirakoulis این مشخصه‌های پویا می‌توان سه رویکرد را ملاحظه کرد: ۱) رویکرد کارافیلیدیس و تانیلاکیس: در این رویکرد پارامتر شبیب به صورت مستقیم و به عنوان ضریب وارد رابطه می‌شود، این در حالی است که سرعت و جهت باد به صورت ضمنی، به ترتیب بر میزان ارزش و نحوه چیدمان ضرایب Karafyllidis & Thanailakis، بادی اثرگذار می‌باشد.

استحفاظی اداره کل منابع طبیعی استان گیلان، این آتشسوزی که از ساعت ۱۴:۳۰ اول مرداد آغاز و نهایتاً با تلاش مامورین جنگلبانی در ساعت دو بامداد سوم مرداد خاموش شد، منطقه‌ای با مساحت تقریبی ۸/۵ هکتار از جنگل‌های این ناحیه را دچار حریق نمود (شکل ۱)

است و بخش قابل توجهی از مساحت آن را پوشش جنگلی تشکیل داده است. موقعیت دقیق جغرافیایی شهرستان و منطقه موردمطالعه در شکل ۱ نشان داده شده است. در مرداد ماه سال ۱۳۹۲ محدوده‌ای از جنگل‌های بخش لakan شهرستان رشت به مدت ۲۶ ساعت دچار آتشسوزی شد. با توجه به گزارش نهایی حریق در جنگل‌ها و مراتع، حوزه



شکل ۱- موقعیت منطقه آتشسوزی، الف) ایران، ب) استان گیلان، ج) شهرستان رشت، د) بخش لakan، ه) منطقه آتشسوزی شده

می‌توان با استفاده از ویژگی‌های ساختاری از جمله توپولوژی شبکه، تعریف همسایگی، شرایط مرزی شبکه و ویژگی‌های تابعی شامل کلیه متغیرهای توصیف‌کننده وضعیت سلول‌ها، شرایط اولیه شبکه و قوانین انتقال حاکم بر رفتار شبکه معروفی نمود (Lett *et al.*, 1999).

در اتماتای سلولی و بهمنظور مدل‌سازی خط محدوده آتش که آن را جبهه آتش می‌نامند، باید احتمال وقوع در پیکسل‌های مختلف محاسبه شود. طبق رابطه ۱، این احتمال

مبانی اتماتای سلولی در گسترش آتشسوزی اتماتای سلولی از یک شبکه گسسته مشکل از اشکال هندسی همگن و یا ناهمگن ساخته شده است، به طوری که هر یک از این سلول‌ها می‌توانند مقدار منحصر به‌فردی را به‌خود اختصاص دهند. این مقادیر براساس قوانین تعریف‌شده در طی دوره‌های زمانی گسسته به صورت تابعی از وضعیت خود سلول و همسایگانش تکامل می‌یابند (Wolfram, 1984). در نگاهی دیگر، اتماتای سلولی را

گام زمانی مدل‌سازی ( $T$ ) نیز به عنوان پارامترهای مؤثر در مدل‌سازی، موردنرسی و ارزیابی قرار گرفتند. با درنظر گرفتن این دو پارامتر،تابع انتقال یک CA دو بعدی را می‌توان به صورت رابطه ۲ نوشت:

رابطه ۲

$$S_{i,j}^{t+1} = S_{i,j}^t + S_{(\alpha \in N: 1 \text{ to } 8)}^t (H, R, W, C, T)$$

بررسی نحوه تأثیر مشخصه‌های پویا در رویکردهای متداول از سال ۱۹۹۷ و همزمان با ارائه اولین مدل گسترش آتش، تا سال ۲۰۱۳ محققان متعددی طی مطالعاتشان رویکردهای گوناگونی را برای اعمال اثر مشخصه‌های ایستاد و پویای مکانی و زمانی (شیب و سرعت و جهت باد) در مدل‌سازی گسترش آتش‌سوزی پیشنهاد دادند که از آن جمله می‌توان به Thanailakis و Karafyllidis (۱۹۹۷)، Ch.Sirakoulis و Progias (۲۰۰۲) و Hearne و Berjak (۲۰۱۳) اشاره نمود. در این پژوهش سه رویکرد اساسی مطرح شده با درنظر گرفتن اثر اندازه پیکسل و از طریق مقایسه ججه آتش شبیه‌سازی شده با واقعیت، با استفاده از ضریب کاپا مورد ارزیابی قرار گرفت و نتایج آنها با هم مقایسه شدند. شکل ۳ نحوه اعمال اثر مشخصه‌های پویای مکانی و زمانی در سه مدل فوق را به صورت خلاصه نشان می‌دهد:

بیانگر نسبت مساحت سوخته شده ( $A_b$ ) به مساحت کل سلول ( $A_t$ ) است.

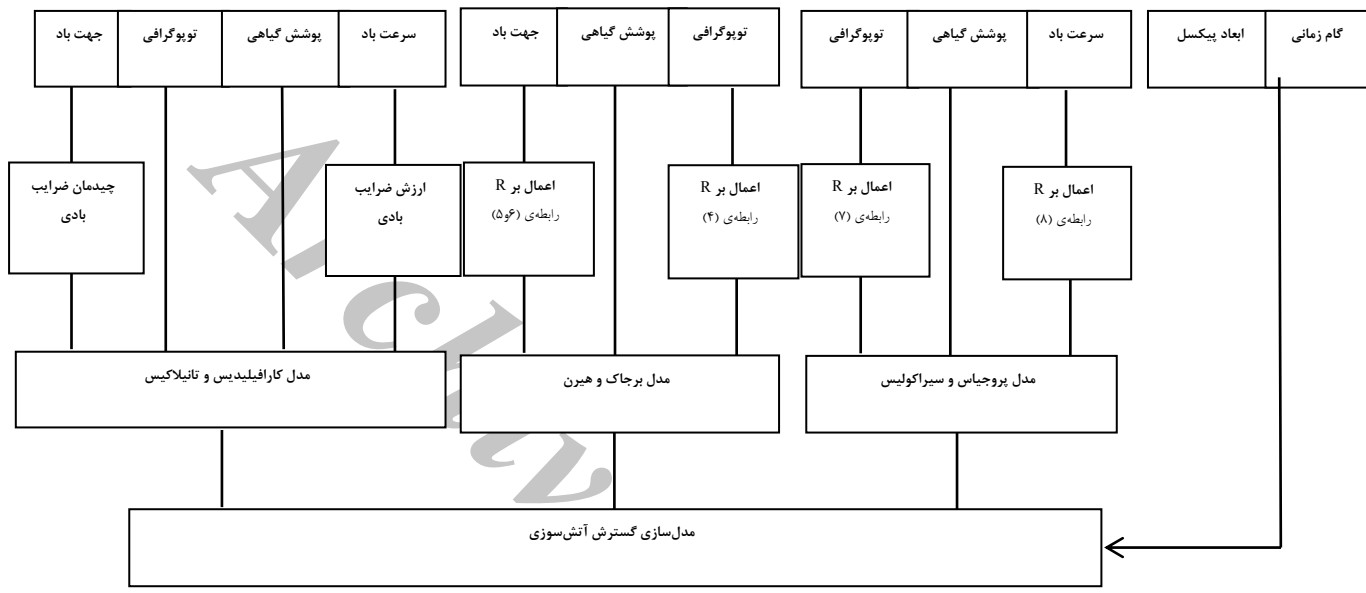
$$S_{i,j}^t = \frac{A_b}{A_t} \quad \text{رابطه ۱}$$

مقدار  $S$  برای یک سلول سالم برابر صفر، برای سلول سوخته شده برابر یک و برای سلول‌های در حال حریق مقادیری بین این دو عدد می‌باشد. در تحقیقات مرتبط با توجه به اینکه هشت جهت برای گسترش آتش وجود دارد، عموماً برای تعریف همسایگی از هشت پیکسل مجاور پیکسل مرکزی استفاده شده است که به همسایگی Moore معروف است (شکل ۲).

$i-1,j-1$	$i-1,j$	$i-1,j+1$
$i,j-1$	$i,j$	$i,j+1$
$i+1,j-1$	$i+1,j$	$i+1,j+1$

شکل ۲- هشت همسایگی Moore

به این ترتیب، وضعیت هر سلول در لحظه  $t+1$  تابعی از وضعیت خود سلول و هشت سلول همسایه آن در لحظه  $t$  می‌باشد. ملاک عمل برای محاسبه وضعیت سلول در لحظه  $t+1$  ( $S_{i,j}^{t+1}$ )، وضعیت توپوگرافی (H)، سرعت گسترش آتش برگرفته از پوشش گیاهی منطقه (R) و سرعت و جهت باد (W) است. در این پژوهش، دو پارامتر ابعاد سلول (C) و



شکل ۳- نحوه اعمال اثر مشخصه‌های پویای مکانی و زمانی در سه مدل

با درنظر گرفتن انتشار دایره‌ای آتش از سلول‌های قطری به سلول مرکزی و انتشار خطی آن از سلول‌های مجاور به (Hernandez Encinas *et al.*, 2007) سلول مرکزی به صورت رابطه ۳ بیان کرد:

**مدل کارافیلیدیس و تانیلاکیس**  
Thanailakis و Karafyllidis (۱۹۹۷) به منظور مدل‌سازی گسترش آتش‌سوزی، یک مدل ریاضی اولیه براساس اتماتاتی سلولی ارائه کردند. با توجه به همسایگی هشت‌تایی Moore برای هر سلول می‌توان مدل مربوطه را

رابطه ۳

$$S_{ij}^{t+1} = \frac{R_{ij}}{R_{\max}} S_{ij}^t + \left( a^t H_{i-1j} \frac{R_{i-1j}}{R_{\max}} S_{i-1j}^t + b^t H_{i+1j} \frac{R_{i+1j}}{R_{\max}} S_{i+1j}^t + c^t H_{i-1j} \frac{R_{i-1j}}{R_{\max}} S_{i-1j}^t + d^t H_{i+1j} \frac{R_{i+1j}}{R_{\max}} S_{i+1j}^t \right) + \left( e^t H_{i-1j-1} \frac{\pi R_{i-1j-1}^2}{4R_{\max}^2} S_{i-1j-1}^t + f^t H_{i-1j+1} \frac{\pi R_{i-1j+1}^2}{4R_{\max}^2} S_{i-1j+1}^t + g^t H_{i-1j-1} \frac{\pi R_{i-1j-1}^2}{4R_{\max}^2} S_{i-1j-1}^t + h^t H_{i-1j+1} \frac{\pi R_{i-1j+1}^2}{4R_{\max}^2} S_{i-1j+1}^t \right)$$

بادی معرفی شده‌اند. ارزش این ضرایب به صورت تابعی از سرعت باد تغییر کرده و نحوه چیدمان آنها در هشت سلول اطراف سلول مرکزی نیز با توجه به جهت وزش باد متغیر است. شکل ۴ نمونه‌ای از اثر سرعت و جهت وزش باد بر روی ضرایب بادی را نشان می‌دهد:

در این رابطه  $H$  شب سلول مرکزی با سلول‌های همسایه را نشان می‌دهد و  $R$  معرف سرعت گسترش آتش‌سوزی است که با استفاده از رابطه معرفی شده توسط Berjak & Rothermel (۱۹۷۲) قابل محاسبه است (Hearne, 2002). ضرایب  $a, b, \dots, h$  تحت عنوان ضرایب

۱.۰۴	۱	۱
۱.۱		۰.۹
۱.۰۴	۱	۱

باد ضعیف از غرب به شرق

۱.۱	۱	۱
۱.۳		۰.۸
۱.۱	۱	۱

باد قوی از غرب به شمال

۱	۰.۸	۱
۱		۱
۱.۱	۱.۳	۱.۱

باد از جنوب به شمال

شکل ۴- نمونه‌هایی از ضرایب بادی

رابطه تجربی ۶ استفاده کرد (Cheney, 1981; Yongzhong et al., 2004; Nofarasti & Tadayyone Tabrizi, 2009) که در این رابطه ۷ جهت باد را نشان می‌دهد.

رابطه ۶

$$tg(\theta_f) = 0/4226V$$

مدل پروجیاس و سیراکولیس

در این روش نیز جبهه آتش با استفاده از رابطه ۳ مدل می‌شود، با این تفاوت که اثر پارامترهای شیب و سرعت باد Rothermel مستقیماً با استفاده از رابطه‌های ارائه شده توسط Trunfio (رابطه‌های ۷ و ۸) بر روی سرعت گسترش استخراج شده از جدول مدل سوخت با توجه به نوع پوشش Rothermel, 1972; Trunfio, 2004; Progias & Ch.Sirakoulis, 2013.

رابطه ۷

$$\phi_s = 5.275 \tan \alpha^2$$

رابطه ۸

$$\phi_w = 0.276 P_{wt}$$

رابطه ۹

$$\phi = \phi_w + \phi_s$$

در رابطه ۷،  $\alpha$  شیب زمین و در رابطه ۸،  $P_{wt}$  سرعت باد را نشان می‌دهد. با توجه به نوع پوشش گیاهی یک  $R_0$  خاص تعیین شده و سپس برای اعمال اثر شیب و باد بر روی  $R_0$  و تعیین مقدار نهایی آن از رابطه ۱۰ استفاده می‌شود:

$$R_{max} = R_0(1 + \phi) \quad \text{رابطه ۱۰}$$

حال برای محاسبه سرعت گسترش در هر زاویه‌ای از سلول مرکزی می‌توان از رابطه‌های ۱۱ تا ۱۴ استفاده کرد.

رابطه ۱۱

$$V_e = \frac{\phi}{0.296}$$

نکته‌ای که در رابطه ۳ حائز اهمیت است، نحوه محاسبه سرعت گسترش آتش است که با توجه به پارامترهای ورودی متعدد مورد نیاز در رابطه اصلی ارائه شده توسط Rothermel به سادگی قابل محاسبه در همه مناطق جنگلی نیست، بنابراین بهمنظور تسهیل در امور پژوهشی، انواع پوشش‌های جنگلی توسط Rothermel و Albini به دسته‌های مشابهی طبقه‌بندی شده و سرعت متوسط گسترش آتش برای هر یک از پوشش‌ها تحت عنوان جدول مدل سوخت به پژوهشگران ارائه شده است (Anderson, 1982).

مدل برjak و هیرن

در این روش نیز جبهه آتش با استفاده از رابطه ۳ مدل می‌شود، با این تفاوت که اثر پارامترهای شیب و جهت باد مستقیماً بر روی سرعت گسترش استخراج شده از جدول مدل سوخت با توجه به نوع پوشش گیاهی منطقه اعمال می‌شود. اثر شیب با استفاده از رابطه نمایی ارائه شده توسط Cheney (1981) بر روی سرعت گسترش اعمال می‌شود (رابطه ۴).

رابطه ۴

$$R = R_0 \exp(\alpha \theta_s)$$

که در آن  $\alpha$  ضریبی معادل ۰/۰۶۹۳ و  $\theta_s$  شیب موجود میان سلول مرکزی و سلول‌های همسایه می‌باشد. از سوی دیگر با توجه به حجم زیاد اطلاعات موردنیاز در رابطه راترمل، بهمنظور محاسبه  $R_0$ ، از ۱۳ مدل سوخت معرفی شده توسط راترمل و آلینی با توجه به پوشش گیاهی جنگل استفاده شده است (Anderson, 1982). برای اعمال اثر باد با فرض درنظر گرفتن رابطه‌ای مشابه رابطه ۴، رابطه ۵ مورد استفاده قرار گرفت:

رابطه ۵

$$R = R_0 \exp(\beta \theta_f)$$

در این رابطه،  $\theta_f$  زاویه قائم شعله آتش و  $\beta$  عدد ثابتی است که از داده‌های تجربی قابل استخراج است (Berjak & Hearne, 2002).

$$P(E) = \sum_{i=1}^c Pit \cdot Pti$$

بدیهی است هرچه ضریب کاپا به یک نزدیک‌تر باشد، صحت بیشتری از شبیه‌سازی را نشان می‌دهد.

رابطه ۱۷

رابطه ۱۲

$$I_w = 0.936e^{0.2566\nu_e} + 0.461e^{-0.1548\nu_e} - 0.397$$

رابطه ۱۳

$$\varepsilon = \sqrt{\frac{l_w^2 - 1}{l_w}}$$

رابطه ۱۴

$$R_\theta = R_{\max} \times \frac{1 - \varepsilon}{1 - \varepsilon \times \cos \theta}$$

در این پژوهش جبهه آتش موردنظر با استفاده از GPS برداشت شد و لایه منحنی میزان منطقه با مقیاس ۱:۲۵۰۰۰ برای تولید اطلاعات توپوگرافی شامل شبیه‌سازی از اداره کل منابع طبیعی اخذ شد. با توجه به یکدست بودن پوشش گیاهی، نوع پوشش به منظور تعیین سرعت گسترش آتش از طریق بازدید میدانی بررسی شد و سرعت گسترش با توجه به نوع پوشش از جدول مدل سوخت ارائه شده توسط Anderson و Albini و Rothermel استخراج شد (Anderson, 1982). داده‌های مربوط به سرعت و جهت باد نیز در مدت زمان آتش‌سوزی از شش ایستگاه هواشناسی موجود در استان و از اداره کل هواشناسی استان اخذ شد. پس از آماده‌سازی لایه‌های اطلاعاتی موردنیاز، برای اندازه‌گیری میزان صحت موجود میان نتایج مشاهده شده و پیش‌بینی شده از ضریب کاپا (Kappa Statistics) و رابطه ۱۵ استفاده شد:

رابطه ۱۵

$$KS = \frac{P(A) - P(E)}{1 - P(E)}$$

که در آن،  $P(A)$  مجموع تعداد پیکسل‌هایی است که موقعیت آنها در شرایط واقعی و شبیه‌سازی شده یکسان هستند و از رابطه ۱۶ به دست می‌آید.  $P(E)$  نیز حاصل ضرب تعداد پیکسل‌هایی است که موقعیت آنها در شرایط واقعی و شبیه‌سازی شده متفاوت است و از رابطه ۱۷ محاسبه می‌شود.

رابطه ۱۶

$$P(A) = \sum_{i=1}^c Pii$$

بررسی پژوهش‌های مختلف نشان می‌دهد که برای مدل‌سازی پدیده‌های پویا با استفاده از اتماتاتی سلولی، به طور عمده از سلول‌هایی با ابعاد ثابت در شبکه اتماتاتی سلولی استفاده شده است، بنابراین در این پژوهش، نقش ابعاد مختلف سلول بر روی دقت مدل‌سازی با سه رویکرد مربوطه بررسی شده است. براساس گزارش اداره کل منابع طبیعی استان گیلان، آتش‌سوزی در منطقه مورد مطالعه در طی ۳۶ ساعت حدود ۸/۵ هکتار از اراضی جنگلی را از بین برده است. لذا می‌توان برای هر یک از ابعاد در نظر گرفته شده، برای ضلع سلول‌های تشکیل‌دهنده شبکه (سه تا ۱۵ متر)، با درنظر گرفتن هشت همسایگی Moore، مدت زمان لازم برای آتش‌سوزی را تخمین زد. برای مثال چنانچه شبکه با استفاده از سلول‌هایی به ضلع ۱۵ متر پوشش داده شود، آنگاه، سوختن یک مرغ ۴۵×۴۵ متری (هشت همسایگی Moore) حدود ۴۵ دقیقه زمان می‌برد. مدت زمان آتش‌سوزی (۳۶ ساعت)، شامل ۴۸ گام ۴۵ دقیقه‌ای است، بنابراین این انتظار می‌رود که مدل مربوطه پس از ۴۸ اجر، گسترشی معادل واقعیت را مدل‌سازی نماید. این در حالی است که برنامه به دلیل وارد کردن قید در مدل، پس از رسیدن به تعداد سلول‌های سوخته شده در واقعیت، متوقف می‌شود، بنابراین تعداد اجرها (Runs) پس از اجرای برنامه با تعداد استاندارد آن متفاوت است. به عبارت دیگر، در صورت استفاده از سلول‌های ۱۵ متری لزوماً پس از ۴۸ اجر، تعداد سلول‌های سوخته شده شبیه‌سازی شده با تعداد سلول‌های سوخته شده در واقعیت برابر نخواهد بود و تعداد اجرها می‌تواند کمتر و یا بیشتر از تعداد استاندارد باشد، بنابراین برای برطرف کردن این تمايز پارامتر زمان در گام دوم مورد مطالعه و بررسی قرار گرفت.

است (رابطه ۷)، اما به دلیل رویکرد این روش مبنی بر درنظر گرفتن کلیه زوایای پوشش دهنده یک سلول در تعیین سرعت گسترش نهایی (رابطه ۱۴)، تا حد زیادی تأثیرات افزایش ابعاد پیکسل خنثی شده است، بنابراین شاهد یک روند تقریباً یکنواخت در نتایج حاصل از شبیه‌سازی هستیم.

دلیل رفتار افزایشی مدل کارافیلیدیس با افزایش ابعاد پیکسل: در این روش به دلیل درنظر نگرفتن بسیاری از اطلاعات جزئی و شبیه‌سازی گسترش آتش با اطلاعات کلی موجود از منطقه با افزایش ابعاد پیکسل و از بین رفته بخشی از اطلاعات جزئی موجود، دقت شبیه‌سازی کلی کاهش نمی‌یابد. از سوی دیگر به دلیل کاهش تعداد اجرای خطای تجمعی شبیه‌سازی کاهش یافته و دقت افزایش می‌یابد.

نقطه عطف تفاوت میان نتایج این سه الگوریتم در نحوه اعمال اثر مشخصه‌های ایستا و پویای مکانی و زمانی (شب و سرعت و جهت باد) بر سرعت گسترش آتش می‌باشد. در الگوریتم کارافیلیدیس اثر پارامترهای سرعت و جهت باد و شبیب بر سرعت گسترش درنظر گرفته نمی‌شود و از سرعت گسترش خام استخراج شده از جدول مدل سوخت استفاده می‌شود. این در حالی است که در مدل پروجیاس دو پارامتر سرعت باد و شبیب و در مدل بر جاک هر سه پارامتر شبیب و سرعت و جهت باد بر سرعت گسترش اعمال می‌شوند، بنابراین این دو مدل نسبت به مدل کارافیلیدیس دقت بیشتری را نشان می‌دهند.

#### نتایج به دست آمده از کالیبراسیون گام زمانی

همان‌طورکه پیش از این اشاره شد به دلیل وارد کردن قید در مدل، تعداد اجرایها پس از اجرای برنامه با تعداد استاندارد آن متفاوت است، بنابراین برای برطرف کردن این تمايز پارامتر زمان با استفاده از روش سعی و خطای کالیبره شد که نتایج به دست آمده از آن در جدول ۲ ارائه شده است.

این پارامتر در نتایج پیشین با درنظر گرفتن انتشار آتش با سرعت ثابت محاسبه شده است، حال آنکه در واقعیت سرعت انتشار ثابت نیست و به ازای هر یک از مدل‌های شبیه‌سازی می‌توان به زمان کالیبره شده مربوط به آن دست یافت. به این ترتیب به منظور مطالعه اثر این پارامتر در سه مدل معروفی شده به کالیبره نمودن آن با استفاده از روش سعی و خطای پرداخته شد.

#### تحلیل نتایج به دست آمده از اثر ابعاد پیکسل

در این پژوهش و در اولین گام، با درنظر گرفتن سرعت ثابت برای انتشار آتش در زمان، دقت مدل‌سازی سه مدل معروفی شده برای پنج نوع پیکسل با ابعاد گوناگون محاسبه شده است. نتایج به دست آمده در جدول ۱ ارائه شده است:

همان‌طورکه از نتایج مندرج در جدول ۱ بر می‌آید با توجه به ضرایب کاپای به دست آمده، سه الگوریتم مربوطه سه رفتار متفاوت (افزایشی، کاهشی و یکنواخت) را نشان می‌دهند. رفتار هر یک از این مدل‌ها را می‌توان به شرح زیر توجیه نمود:

دلیل رفتار کاهشی مدل بر جاک با افزایش ابعاد پیکسل: در معادلات مربوط به این الگوریتم، تنها عامل وابسته به اندازه پیکسل، رابطه ۴ است که در آن اثر پارامتر شبیب بر روی سرعت گسترش اعمال می‌شود، بنابراین می‌توان ادعا کرد که با افزایش ابعاد پیکسل، بخشی از اطلاعات توپوگرافی منطقه (شب میان سلول‌ها) از میان رفته است. از این رو دقت اطلاعات توپوگرافی و پیرو آن دقت محاسبه  $\theta_s$  (زاویه‌ی شب میان سلول‌ها) کاهش یافته و فاصله آن با واقعیت افزایش می‌یابد. به این ترتیب شاهد کاهش دقت شبیه‌سازی این الگوریتم با افزایش اندازه پیکسل هستیم.

دلیل رفتار یکنواخت مدل پروجیاس با افزایش ابعاد پیکسل: در معادلات مربوط به این الگوریتم مانند روش بر جاک تنها عامل وابسته به اندازه پیکسل، پارامتر شبیب

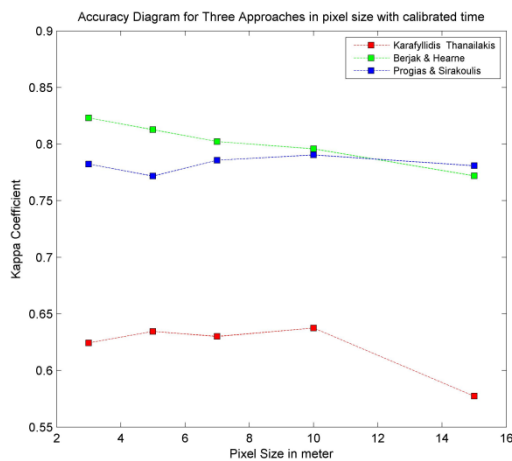
جدول ۱- ضریب کاپای حاصل از سه مدل با درنظر گرفتن پنج نوع اندازه پیکسل و زمان استخراج شده از اطلاعات آتش سوزی

نام مدل	ابعاد سلول														
	۳ متر (۱۰ دقیقه)					۵ متر (۱۵ دقیقه)					۷ متر (۲۰ دقیقه)				
	ضریب کاپا	تعداد اجرایا در برنامه	تعداد اجرایا در واقعیت	ضریب کاپا	تعداد اجرایا در برنامه	تعداد اجرایا در واقعیت	ضریب کاپا	تعداد اجرایا در برنامه	تعداد اجرایا در واقعیت	ضریب کاپا	تعداد اجرایا در برنامه	تعداد اجرایا در واقعیت	ضریب کاپا	تعداد اجرایا در برنامه	تعداد اجرایا در واقعیت
کارافلیدیس	۰/۶۲۴۴	۲۴۰	۲۷۰	۰/۶۵۳۰	۱۴۴	۱۴۴	۰/۶۴۹۸	۱۰۸	۱۰۸	۰/۷۰۶۰	۳۸	۷۲	۰/۷۱۲۵	۴۸	۴۸
برجاك	۰/۸۲۳۱	۶۱	۲۷۰	۰/۸۰۷۶	۳۹	۱۴۴	۰/۷۹۳۶	۲۹	۱۰۸	۰/۷۷۹۱	۲۲	۷۲	۰/۷۴۲۷	۱۵	۴۸
پروجیاس	۰/۷۸۲۴	۵۲	۲۷۰	۰/۷۷۱۷	۳۲	۱۴۴	۰/۷۸۵۷	۲۳	۱۰۸	۰/۷۷۵۹	۱۷	۷۲	۰/۷۸۰۹	۱۱	۴۸

جدول ۲- ضریب کاپای به دست آمده از سه مدل با درنظر گرفتن پنج نوع اندازه پیکسل و زمان کالبیره شده برای هر الگوریتم

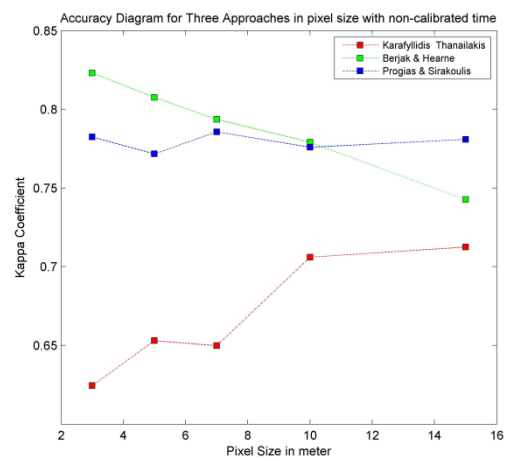
نام مدل	ابعاد سلول														
	۳ متر (۱۰ دقیقه)					۵ متر (۱۵ دقیقه)					۷ متر (۲۰ دقیقه)				
	ضریب کاپا	تعداد اجرایا در برنامه	تعداد اجرایا در واقعیت	ضریب کاپا	تعداد اجرایا در برنامه	تعداد اجرایا در واقعیت	ضریب کاپا	تعداد اجرایا در برنامه	تعداد اجرایا در واقعیت	ضریب کاپا	تعداد اجرایا در برنامه	تعداد اجرایا در واقعیت	ضریب کاپا	تعداد اجرایا در برنامه	تعداد اجرایا در واقعیت
کارافلیدیس	۰/۶۲۴	۲۴۰	۲۴۰	۹	۰/۶۳۴	۱۵۴	۱۵۴	۱۴	۰/۶۳	۱۱۷	۱۱۷	۱۸	۰/۶۳۷	۹۸	۹۸
برجاك	۰/۸۲۳	۶۱	۶۱	۳۵	۰/۸۱۲	۳۷	۳۷	۶۷	۰/۸۰۲	۲۷	۲۷	۸۰	۰/۷۹۵	۲۰	۲۰
پروجیاس	۰/۷۸۲	۵۲	۵۴	۴۰	۰/۷۷۱	۳۳	۳۳	۶۵	۰/۷۸۵	۲۳	۲۳	۹۰	۰/۷۹	۱۶	۱۶

افزایش خطای نهایی در مقایسه با حالت غیرکالبیره می‌شود. این در حالی است که نتایج در دو روش دیگر با کالبیره کردن زمان، روند مطلوب‌تری را نشان می‌دهد. شکل‌های ۵ و ۶ نمودار ضراایب کاپای کاپای به دست آمده در دو روش را برای هر سه مدل مربوطه نشان می‌دهند.



شکل ۶- رفتار سه مدل با در نظر گرفتن پنج نوع اندازه پیکسل و زمان کالبیره شده

همان‌طور که از نتایج برمی‌آید، در روش کارافیلیدیس به دلیل ضعف روش در شبیه‌سازی گسترش آتش، برای رسیدن به وضعیت مطلوب در بهینه‌ترین زمان به تعداد اجراهای بیشتری نیاز است که پیرو آن به دلیل رابطه مستقیم میان میزان خطا و تعداد اجراهای منجر به کاهش دقت و



شکل ۵- رفتار سه مدل با در نظر گرفتن پنج نوع اندازه پیکسل و زمان استخراج شده از اطلاعات آتش‌سوزی

کارافیلیدیس برای اعمال اثر گونه‌های گیاهی مختلف، شبیه و سرعت و جهت باد از مجموعه‌ای از فاکتورهای وزنی-تجربی استفاده شده است، انتظار می‌رود با توسعه محدوده شبیه‌سازی، دقت روش مربوطه کاهش یابد (Karafyllidis & Ch.Sirakoulis, 2013). به این ترتیب با کاهش ابعاد پیکسل و افزایش اطلاعات جزئی موردنیاز در مدل‌سازی، دقت روش کارافیلیدیس کاهش می‌یابد. این در حالی است که با کاهش ابعاد پیکسل و در دست داشتن اطلاعات جزئی و دقیق‌تر از یک منطقه می‌توان دقت شبیه‌سازی دو روش برچاک و پروجیاس را افزایش داد. دلیل این امر قابلیت دو مدل برچاک و پروجیاس در اثر دادن پارامترهای مؤثری همچون شبیب، جهت شبیب و سرعت و جهت باد در مدل‌سازی گسترش جبهه آتش است، اما با این وجود در یک نگاه کلی دقت روش برچاک از پروجیاس بیشتر است که علت آن را می‌توان در پارامترهای موثر موجود در هر

## بحث

در این پژوهش ابتدا سه مدل کارافیلیدیس، برچاک و پروجیاس در منطقه مورد مطالعه اجرا شد و رفتار آنها با انجام آنالیز حساسیت مربوط به پارامترهای اندازه پیکسل و گام‌های زمانی تغییر وضعیت در اوتوماتای سلولی مورد مقایسه و ارزیابی قرار گرفت. نتایج به دست آمده نشان می‌دهد که بدون درنظر گرفتن فرآیند کالبیراسیون، دقت مدل‌سازی روش کارافیلیدیس از دو روش برچاک و پروجیاس کمتر است که با نتایج تحقیقات پیشین نیز مطابقت دارد. به طوری که بیش از این در پژوهش‌هایی همچون Hernandez Encinas و Hearne (۲۰۰۲)، Berjak و Hernández Encinas (۲۰۰۸) و همکاران (۲۰۰۷)، Yassemi و همکاران (۲۰۰۸) و Ch.Sirakoulis و Progias (۲۰۱۳) به نقاط ضعف روش کارافیلیدیس و کارآیی ضعیف آن در مدل‌سازی جبهه آتش اشاره شده است. به عبارت دیگر، با توجه به اینکه در روش

- models for estimating fire behavior. General Technical Report INT-122.
- Artes, T., Cencerrado, A., Cortes, A. and Margalef, T., 2013. Relieving the effects of uncertainty in forest fire spread prediction by hybrid MPI-OpenMP parallel strategies. International Conference on Computational science, Procedia Computer Science, 18: 2278-2287.
  - Beer, T., 1989. The australian national bushfire model. Proceedings of 8<sup>th</sup> Biennial Conference and Bushfire Dynamics Workshop, Canberra, Australia, pp. 568-572.
  - Berjak, S. and Hearne, J., 2002. An improved cellular automation model for simulating fire in a spatially heterogeneous Savana system. Ecological Modeling, 148: 133-151.
  - Boboulos, M. and Purvis, M.I.R., 2009. Wind and slope effects on ROS during the fire propagation in East-Mediterranean pine forest litter. Fire Safety Journal, 44: 764-769.
  - Brun, C., Artes, T., Margalef, T. and Cortes, A., 2012. Coupling wind dynamics into a DDDAS forest fire propagation prediction system. Procedia Computer Science, 9: 1110-1118.
  - Chamani Takladani, B., Sadi Mesgari, M. and Yaghoubkhani Ghiasvand, M., 2013. Agent based modeling for forest fire spreading. Third Conference of Environment Programming and Management (In Persian).
  - Cheney, N.P., 1981. Fire behavior. A.M. Gill, G.H. Groves and I.R. Noble, Editors, Fire and the Australian Biota, Australian Academy of Science, Canberra, 157-175.
  - Denham, M., Wendt, K., Bianchini, G., Cortés, A. and Margalef, T., 2012. Dynamic Data-Driven Genetic Algorithm for forest fire spread prediction. Journal of Computational Science, 3: 398-404.
  - Eskandari, S., Oladi Ghadikolaei, J. and Jalilvand, H., 2013. Efficiency evaluation of Dong model for determination of fire risk potential in Zarrin Abad Forests. Iranian Journal of Forest and Poplar Research, 21(3): 439-451 (In Persian).
  - Gazme, H., Chehreghan, A., Ale-Sheikh, A. and Karimi, M., 2013. Modeling forest fire front spreading using Cellular Automata, Spatial information system and Particle swarm optimization. Journal of Surveying Engineering and Spatial Information, 3: 71-85 (In Persian).
  - Hernandez Encinas, A., Hernandez Encinas, L., Hoya White, S., Martin del Rey, A. and Rodriguez Sanchez, G., 2007. Simulation of

یک از این دو مدل جستجو نمود. در مدل برچاک هر دو پارامتر جهت باد و شیب که نقش مهمی در تعیین دقیق جهت گسترش جبهه آتش دارند، همزمان در مدل اعمال شده و اثر آنها در نظر گرفته می‌شود. این در حالی است که در مدل پروجیاس تنها عامل شیب وارد مدل می‌شود که همین مسأله بر دقت تعیین جهت گسترش اثرگذار بوده و درنتیجه منجر به کاهش دقت می‌شود. از سوی دیگر با کالیبره کردن گام زمانی شبیه‌سازی برای هر یک از سه الگوریتم به روش سعی و خط، شاهد افزایش تعداد اجرایا در الگوریتم کارافیلیدیس و در مقابل کاهش آنها در دو الگوریتم دیگر بودیم که پیرو آن به دلیل افزایش خطای تجمعی در هر اجرا، این کالیبراسیون منجر به کاهش دقت روش کارافیلیدیس و افزایش دقت برچاک و پروجیاس می‌شود.

در مجموع با توجه به روندهای مشاهده شده در شبیه‌سازی سه الگوریتم به نظر می‌رسد می‌توان برای شبیه‌سازی گسترش آتش در مناطق جنگلی استان گیلان از روش برچاک با پیکسل‌هایی با ابعاد سه تا هفت متر استفاده کرد و با دقت میانگین ۸۰ درصد به شبیه‌سازی جبهه آتش در این منطقه پرداخت. با این وجود به نظر می‌رسد در صورت عدم وجود اطلاعات کافی در ابعاد موردنظر، استفاده از روش پروجیاس به دلیل ثبات نتایج به دست آمده از آن در برابر تغییر ابعاد سلول‌های تشکیل‌دهنده شبکه اتوماتای سلولی، بهینه‌تر و قابل اطمینان‌تر است. به نظر می‌رسد می‌توان با تغییر بنگره در حین مدل‌سازی و بکارگیری روش‌های بهینه‌سازی در تعیین ضرایب ثابت موجود در هر یک از مدل‌ها، دقت به دست آمده از مدل‌سازی را بهبود بخشد که این مسأله می‌تواند به عنوان موضوعی مستقل در پژوهش‌های بعدی مورد توجه قرار گیرد.

## References

- Alexandridis, A., Vakalis, D., Siettos, C.I. and Bafas, G.V., 2008. A cellular automata model for forest fire spread prediction: The case of the wildfire that swept through Spetses Island in 1990. Applied Mathematics and Computation, 204: 191-201.
- Anderson, H., 1982. Aids to determining fuel

173-179.

- Rothermel, R.C., 1972. A mathematical model for predicting fire spread in wildland fuels. Technical Report, USDA Forest Service, Intermountain Forest and Range Experiment Station Ogden, Utah 84401, Research Paper INT-115.
- Rothermel, R.C., 1983. How to predict the spread and intensity of forest and range fires, A publication of the National Wildfire Coordinating Group.
- Sakr, G.E., Elhajj, I.H. and Mitri, G., 2011. Efficient forest fire occurrence prediction for developing countries using two weather parameters. *Engineering Applications of Artificial Intelligence*, 24: 888-894.
- Sarkar, C. and Abbasi, S.A., 2006. Cellular automata-based forecasting of the impact of accidental fire and toxic dispersion in process industries. *Journal of Hazardous Materials*, A137: 8-30 (In Persian).
- Sarkargar Ardakani, A., Valadane Zoj, M.J. and Mansourian, A., 2009. The spatial analysis of fire across the country using RS and GIS. *Journal of Ecology*, 52: 25-43 (In Persian).
- Sirakoulis, Ch., Karafyllidis, I. and Thanailakis, A., 2002. A cellular automaton methodology for the simulation of integrated circuit fabrication processes. *Future Generation Computer Systems*, 18: 639-657.
- Trunfio, G.A., 2004. Predicting Wildfire Spreading Through a Hexagonal Cellular Automata Model. in: *Lecture Notes in Computer Science*, Springer, Berlin, Heidelberg, 3305: 385-394.
- Wolfram, S., 1984. Universality and complexity in cellular automata. *Physica*, 10D: 1-35.
- Yassemi, S., Dragicevic, S. and Schmidt, M., 2008. Design and implementation of an integrated GIS-based cellular automata model to characterize forest fire behaviour. *Ecological Modeling*, 210: 71-84.
- Yongzhong, Z., Feng, Z.D., Tao, H., Liyu, W., Kegong, L. and Xin, D., 2004. Simulating wildfire spreading processes in spatially heterogeneous landscapes using an improved cellular automaton model. *IGARSS'04*, Proceedings of the 2004 IEEE International, 3371-3374.
- Yu, N., Li, M. and Ruan, X., 2005. Applications of cellular automata in complex system study. *International Journal of Information and Systems Sciences*, 1(3-4): 302-310.
- forest fire fronts using cellular automata. *Advances in Engineering Software*, 38: 372-378.
- Innocenti, E., Silvani, X., Muzy, A. and Hill, D., 2009. A software framework for fine grain parallelization of cellular models with OpenMP. *Application to Fire Spread*, 24: 819-831.
- Ivanilova, T.N., 1985. Set Probability identification in forest fire simulation. *Proceedings of the 2<sup>nd</sup> international symposium on systems analysis and simulation*, Pergamon, Berlin, 2: 185-188.
- Jahdi, R., Darvishsefat, A. and Etemad, V., 2013. Predicting forest fire spread using fire behavior model (Case study: Malekroud Forest-Siahkal). *Iranian Journal of Forest and Poplar Research*, 5(4): 419-430 (In Persian).
- Karafyllidis, I. and Thanailakis, A., 1997. A model for predicting forest fire spreading using cellular automata. *Ecological Modeling*, 99: 87-97.
- Lett, C., Silber, C. and Barret, N., 1999. Comparison of a cellular automata network and an individual-based model for the simulation of forest dynamics. *Ecological Modeling*, 121: 277-293.
- Lopes, A.M.G., Sousa, A.C.M. and Viegas, D.X., 1995. Numerical simulation of turbulent flow and fire propagation in complex topography. *Numerical Heat Transfer, Part A*, 27: 229-253.
- Mallet, V., Keyes, D.E. and Fendell, F.E., 2009. Modeling wildland fire propagation with level set methods. *Computers and Mathematics with Applications*, 57: 1089-1101.
- Nofarasti, S. and Tadayyone Tabrizi, Gh., 2009. Application of cellular automata for simulation of fire spread. National conference of software engineering, 319-327 (In Persian).
- Pastor, E., Zarate, L., Planas, E. and Arnaldos, J., 2003. Mathematical models and calculation systems for the study of wildland fire behaviour. *Progress in Energy and Combustion Science*, 29: 139-153.
- Porterie, B., Zekri, N., Clerc, J. and Loraud, J., 2007. Modeling forest fire spread and spotting process with small world networks. *Combustion and Flame*, 149: 63-78.
- Progias, P. and Sirakoulis, G., 2013. An FPGA processor for modeling wildfire spreading. *Mathematical and Computer Modeling*, 57: 1436-1452.
- Quartieri, J., Mastorakia, N., Iannone, G. and Guarnaccia, C., 2011. A Cellular Automata Model for Fire Spreading Prediction. *Latest Trends on Urban Planning and Transportation*,

## Evaluation performances of different forest fire spread models using cellular automata (case study: The forests of Lakan district in Rasht)

**T. Ghaemi Rad<sup>1</sup> and M. Karimi<sup>2\*</sup>**

1- M.Sc. Student of GIS Engineering, Department of GIS Engineering, Faculty of Geomatics Engineering, K.N.Toosi University of Technology, Tehran, Iran

2\*- Corresponding author, Assistant Prof., Department of GIS Engineering, Faculty of Geomatics Engineering, K.N.Toosi University of Technology, Tehran, Iran. E-mail: mkarimi@kntu.ac.ir

Received: 06.29.2014

Accepted: 11.30.2014

### **Abstract**

Accurate prediction of forest fire spread is crucial in minimizing its destructive effects. Forest fire depends on various factors e.g. topography, vegetation and climate. One of the challenges in modeling forest fire concerns the way it interacts with static and dynamic spatiotemporal trajectories affecting its spread such as slope, wind speed and wind direction. In this study, three previously developed approaches Karafyllidis, Berjak and Progias for modeling those parameters were analyzed, followed by investigating the effects of pixel size and time steps in a cellular automata. The study was conducted in the Lakan forest district in the vicinity of Rasht in Guilan province. The available topographic, vegetation, wind speed and wind direction data were initially analyzed in GIS. Then the three modeling approaches were implemented, followed by a consequent sensitivity analysis on the pixel size and time steps of switching in cellular automata. The effectiveness of the approaches was compared by means of Kappa coefficient. The results indicate that the Berjak method with a 3-7 m pixel size is more appropriate for modeling the spread of fire across the study site.

**Keywords:** Forest fire, pixel size, cellular automata, time steps, dynamic spatiotemporal parameters.